

述, AIREBO 势能函数表达式为

$$E = \frac{1}{2} \sum_i \sum_{j \neq i} [E_{ij}^{\text{REBO}} + E_{ij}^{LJ} + \sum_{k=i,j,l=i,j,k} E_{ijkl}^{\text{TORSION}}] \quad (1)$$

其中: E_{ij}^{REBO} 为键序势能; E_{ij}^{LJ} 为长程相互作用势能; $E_{ijkl}^{\text{TORSION}}$ 为四体扭转势能。一般而言, AIREBO 势函数的转换函数参数默认值介于 1.7 ~

2.0 Å 之间, 但根据文献[7-10]的研究结果, 当用该势函数进行石墨烯、碳纳米管等碳基材料的拉伸模拟而使得 C-C 键键长超过 1.7 Å 时, 会出现不符合物理常识的断裂应力升高现象。因此, 本文在拉伸模拟时将 AIREBO 势函数中的转换函数参数设为 2.0 Å, 以此避免该现象的发生。

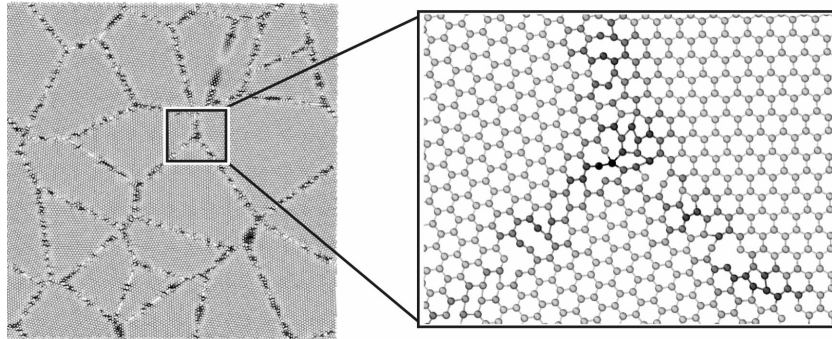


图 2 多晶石墨烯模型及晶界原子构型放大图

Fig. 2 Model of polycrystalline graphene and zoom view of grain boundary

拉伸数值模型中, 石墨烯在两个面内方向(x 、 y)均设为周期性边界条件; 时间步长设为 1 fs。拉伸前, 首先在恒温恒压(NPT)系综下将模型弛豫 10 ps, 然后在正则系综(NVT)下, 对模型两端固定的碳原子施加均匀拉伸应变, 并在加载后弛豫 1 ps; 重复此拉伸、弛豫过程, 直至断裂^[16]。

2 模拟结果分析

2.1 拉伸断裂过程分析

根据上文所建模型, 本文首先模拟了晶粒平均尺寸为 7.5 nm 的多晶石墨烯的拉伸断裂过程, 模拟温度和拉伸应变速率分别为 300 K 和 0.001 ps⁻¹, 图 3 即为多晶石墨烯拉伸变形及断裂过程。

由图 3(a)可见, 加载前晶粒内应力分布较均匀, 但在晶界处由于原子晶格的失配, 致使应力分布明显不均。图 3(b)为当拉伸应变达到 0.05 时的原子构型图, 相比图 3(a)整个模型上的平均应力明显增大, 并且在晶界交界处裂纹开始形核。随着荷载的进一步增大, 裂纹逐渐形成并沿着晶界逐渐扩展, 如图 3(c)~(d)。随着继续加载使得拉伸应变达到 0.063 时, 裂纹将进一步扩展并最终穿越晶粒直至贯通, 从而导致石墨烯的最终断裂, 且最终的开裂方向基本与拉伸方向垂直, 如图 3(e)~(f)。

拉伸断裂过程说明, 多晶石墨烯由于晶界处原子晶格失配, 会形成大量的原子缺陷, 尤其在多个晶界交界处, 形成大量的五元环、七元环以

及含有多个空位缺陷的多元环等, 这些缺陷的存在使得该区域内应力明显不均, 且含有空位缺陷的多元环处原子键合能较低, 极易在外荷载作用下发生扩展, 造成石墨烯的断裂, 从而使得多晶石墨烯的抗拉能力得到削弱。

2.2 应力-应变曲线分析

图 4(a)~(c)分别为晶粒尺寸为 5 nm、7.5 nm 和 10 nm 的多晶石墨烯在不同拉伸应变速率下的应力-应变曲线。

由图可见, 在恒温(300 K)条件下, 多晶石墨烯的拉伸力学性能表现出较强的应变速率相关性。已有研究^[17]表明, 单晶石墨烯的拉伸应力-应变曲线呈现出明显的强化阶段, 与此不同, 从拉伸开始至完全断裂, 多晶石墨烯曲线未出现明显强化阶段。

另一方面, 从开始拉伸至极限拉伸应力阶段, 不同晶粒尺寸石墨烯的应力-应变曲线变化差异较小。从极限应力至完全断裂阶段, 曲线变化差异较大。当拉伸应变速率为 0.000 5 ps⁻¹、0.001 ps⁻¹、0.005 ps⁻¹ 等较小值时, 拉伸应力一旦超过极限强度后, 石墨烯抗拉能力急剧降低至零(完全断裂)。而当应变速率继续增大至 0.01 ps⁻¹ 和 0.05 ps⁻¹ 时, 当拉伸应力超过极限应力后, 石墨烯抗拉能力降低速度变缓, 即从极限应力降为零还需经过较大的拉伸变形, 如应变速率为 0.05 ps⁻¹ 时, 拉伸应变从 0.08 增至将近 0.14 时, 其拉伸强度才降为零(完全断裂)。

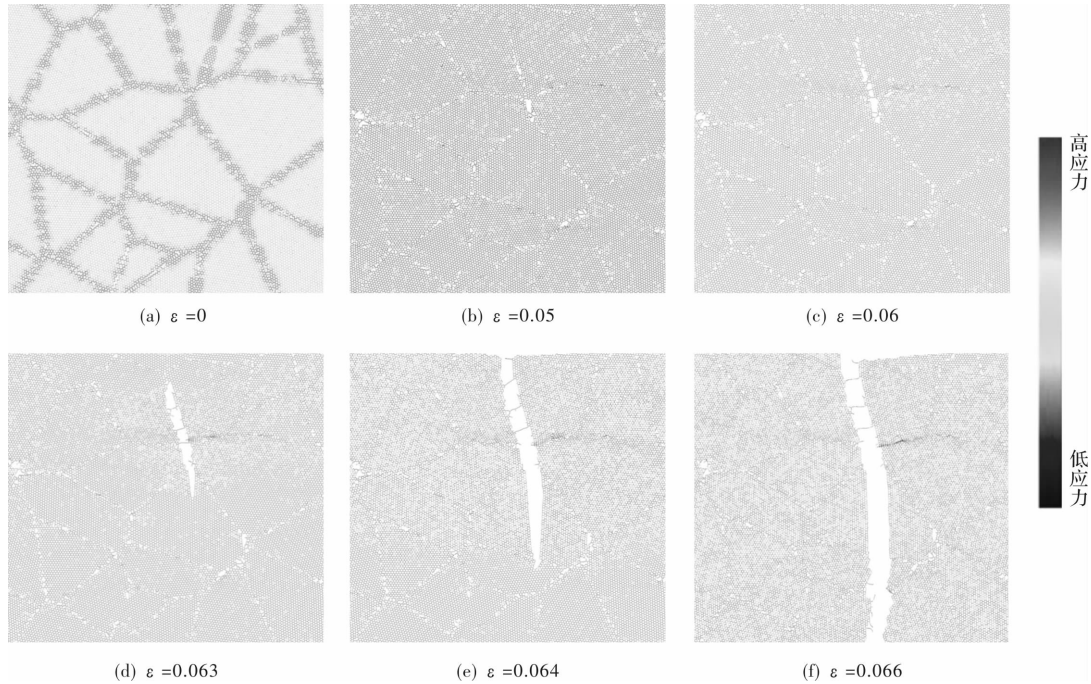


图3 多晶石墨烯拉伸断裂过程图

Fig. 3 Atomic configuration of crack nucleation and propagation of polycrystalline graphene under uniaxial tension

分析认为,这是因为当拉伸应变率较低时,加载速度较慢,石墨烯碳原子有较长的时间来重分布各自位置来耗散拉伸变形能,均匀地分散外力所做的功,使得整个模型趋于平衡状态,更接近于准静态拉伸变形。随着拉伸应变率的增大,连续加载时间间隔缩短,石墨烯碳原子在较短时间内无法通过位置重分布来耗散外力所做的功,整个拉伸过程无法达到平衡状态,加载过程近乎动态加载^[18],且应变率越大,这种动态加载效应愈明显,整个体系的非平衡状态愈强,造成在整个体系上应力分布不均,局部出现应力集中现象,早于其他部分达到拉伸极限强度,形成局部开裂,此时其他应力较低部位尚未达到抗拉极限,因此,整个模型不会马上发生断裂,而是需要经历一定的拉伸变形,待各处局部裂纹扩展、贯通后才逐渐失去抗拉能力,最终完全断裂。

2.3 弹性模量分析

由于多晶石墨烯中晶界的存在会使得弛豫后石墨烯褶皱程度更大,因此在最初拉伸阶段,应力-应变之间的非线性关系更加明显。因此,首先利用最小二乘法对图4 应力-应变曲线中应变在0.02~0.04段部分进行线性拟合^[19],从而得到x和y两个方向的弹性模量;然后对两个方向的弹性模量求算数平均值得到整个模型的平均弹性模量。

图5为弹性模量随拉伸应变率变化曲线图。由图可见,不同晶粒尺寸的多晶石墨烯的弹性模量均随应变率增大而增大。且以应变率0.005 ps⁻¹为界,当应变率低于该值时,曲线较为平缓,斜率较小,说明弹性模量受应变率变化影响较小;当应变率超过该值时,曲线斜率急剧增大,曲线变得陡直,说明弹性模量受应变率变化影响加剧。这说明弹性模量受拉伸应变率的影响程度与拉伸应变率阈值 $\dot{\epsilon}_{th}$ (本文为0.005 ps⁻¹)有关,当应变率低于阈值 $\dot{\epsilon}_{th}$ 时,其对弹性模量的影响较小,当高于阈值 $\dot{\epsilon}_{th}$ 时,其对弹性模量影响程度明显增大。

分析认为,因为弹性模量的本质是原子间的键合能,当应变率较低时,整个过程更接近于准静态加载,整个体系能量分布较均匀,个体原子的能量差异较小,每个原子达到甚至超过其能量阈值的时间和机会相当,从而使弹性模量变化不大。当应变率较大时,动态加载效应开始增大,单位时间外荷载所做的功增大,而整个体系用来均匀耗散外荷载所做功的时间却减小,因此能量无法在整个体系内均匀分布,造成个体原子的能量差异较大,每个原子达到甚至超过其能量阈值的时间和机会不等,从而造成弹性模量的较大差异。

2.4 抗拉强度分析

图6为不同晶粒尺寸多晶石墨烯抗拉强度与拉伸应变率关系曲线图。由图可见,随晶粒尺寸增

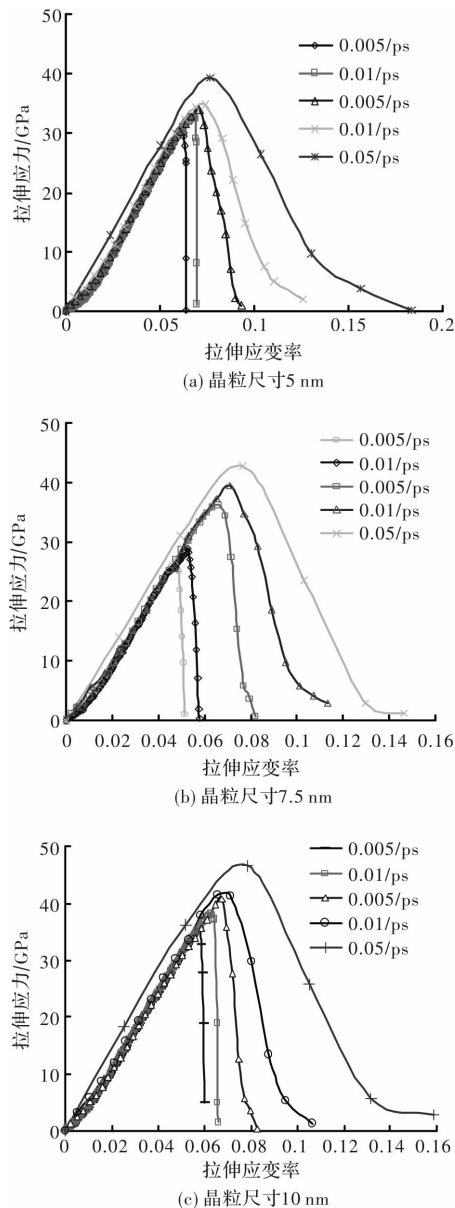


图 4 多晶石墨烯在不同拉伸应变率下的拉伸应力-应变曲线图

Fig. 4 Stress-strain curves of polycrystalline under different tensile strain rate

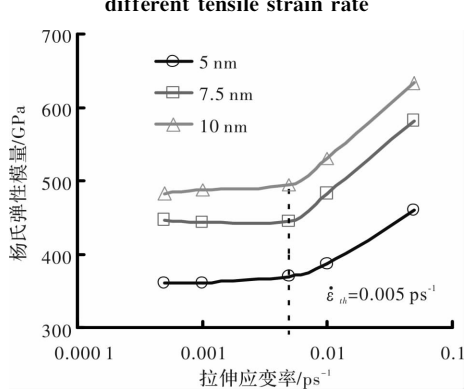


图 5 杨氏弹性模量与拉伸应变率关系曲线图

Fig. 5 Curves of Young's elastic modulus of polycrystalline graphene changing with the tensile strain rate
大, 多晶石墨烯的拉伸强度呈增大趋势. 这是由于

随着晶粒尺寸的减小, 单位面积上的晶界数量越多, 而晶界处存在较多的原子缺陷, 随着外荷载的不断增加, 更易发生扩展, 从而削弱多晶石墨烯的抗拉强度.

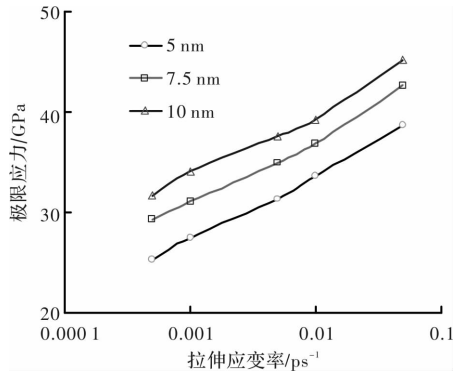


图 6 拉伸强度随拉伸应变率变化曲线图

Fig. 6 Curves of tensile strength of polycrystalline graphene changing with the tensile strain rate

此外, 根据图 6 可见, 随拉伸应变率的增大, 对于不同晶粒尺寸的多晶石墨烯而言, 其拉伸强度均近乎呈线性增大. 即对不同晶粒尺寸的多晶石墨烯, 其拉伸强度与拉伸应变率间关系应满足^[20]:

$$\sigma = A \dot{\epsilon}^m \quad (2)$$

式中: σ 为材料的拉伸强度; A 为与材料有关的常数; $\dot{\epsilon}$ 为拉伸时的应变率; m 为应变率敏感系数.

因此, 为进一步分析多晶石墨烯拉伸强度对拉伸应变率的敏感程度, 应根据方程(2)得到 m 的显式表达式, 为此, 对方程(2)的两端取自然对数, 可得:

$$\ln(\sigma) = \ln A + m \ln(\dot{\epsilon}) \quad (3)$$

进一步对方程(3)两端求导数并整理可得:

$$m = \frac{\partial \ln(\sigma)}{\partial \ln(\dot{\epsilon})} \quad (4)$$

由方程(4)可知, 敏感度系数 m 可通过求 $\ln(\sigma)-\ln(\dot{\epsilon})$ 曲线的斜率得到. 由此可进一步得到多晶石墨烯拉伸强度对拉伸应变率敏感性趋势线图, 如图 7 所示.

由图 7 可见, 晶粒平均尺寸分别为 5 nm、7.5 nm 和 10 nm 时, 多晶石墨烯拉伸强度对拉伸应变率的敏感系数分别为 0.0906、0.0801 和 0.0738, 说明拉伸强度对应变率的敏感度随晶粒尺寸的增大而减小. 分析认为, 晶粒尺寸越大, 单位面积上的晶界数量会越少, 使得单位面积上的原子缺陷减少, 整个体系结构越接近完美状态, 从而内禀性能也更加稳定, 使得其受外界因素的影响程度减小.

